



El patrón de fracturación alpina en el sector suroccidental de los Pirineos Vascos

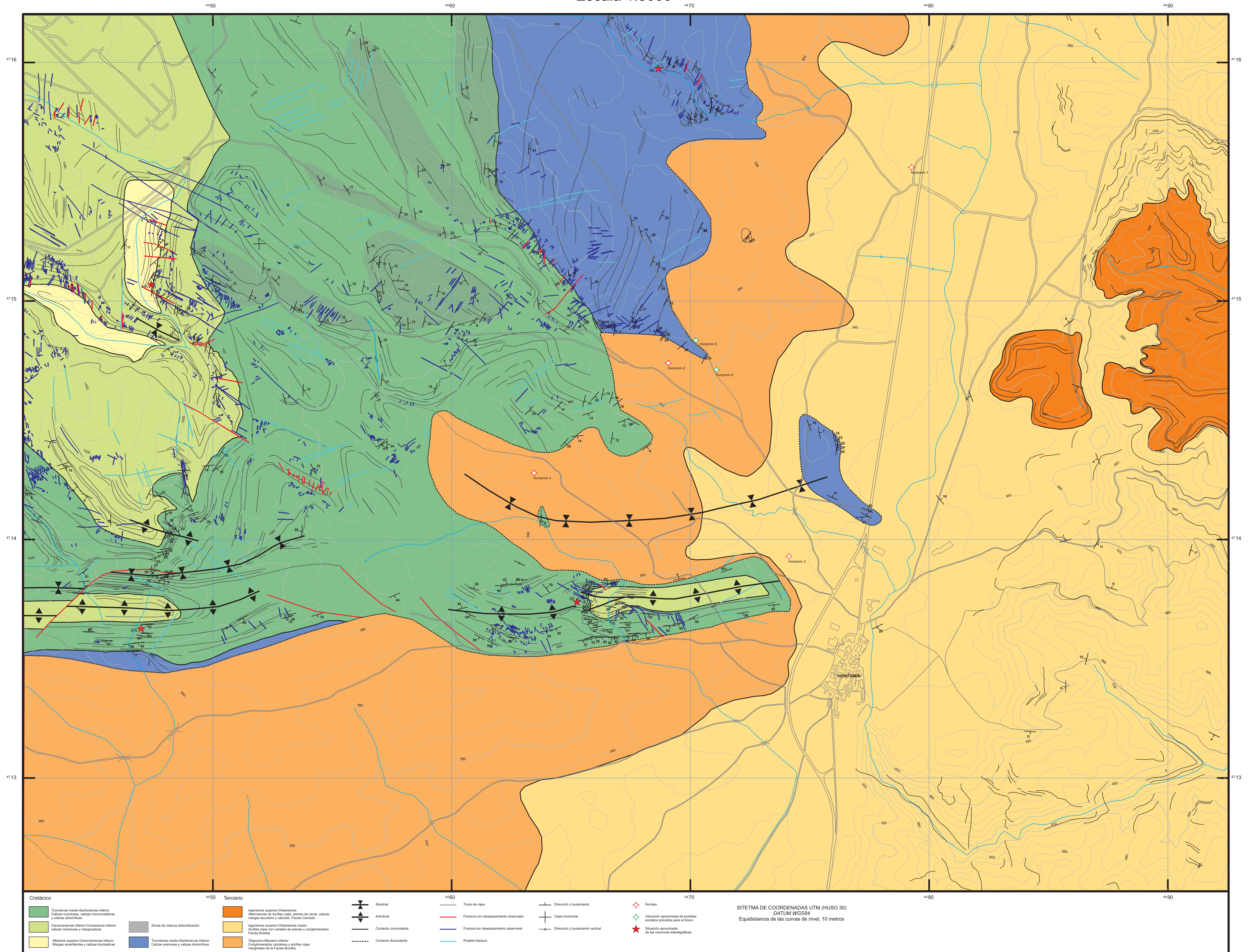
Anna Quintà Riera

ADVERTIMENT. La consulta d'aquesta tesi queda condicionada a l'acceptació de les següents condicions d'ús: La difusió d'aquesta tesi per mitjà del servei TDX (www.tdx.cat) i a través del Dipòsit Digital de la UB (diposit.ub.edu) ha estat autoritzada pels titulars dels drets de propietat intel·lectual únicament per a usos privats emmarcats en activitats d'investigació i docència. No s'autoritza la seva reproducció amb finalitats de lucre ni la seva difusió i posada a disposició des d'un lloc aliè al servei TDX ni al Dipòsit Digital de la UB. No s'autoritza la presentació del seu contingut en una finestra o marc aliè a TDX o al Dipòsit Digital de la UB (framing). Aquesta reserva de drets afecta tant al resum de presentació de la tesi com als seus continguts. En la utilització o cita de parts de la tesi és obligat indicar el nom de la persona autora.

ADVERTENCIA. La consulta de esta tesis queda condicionada a la aceptación de las siguientes condiciones de uso: La difusión de esta tesis por medio del servicio TDR (www.tdx.cat) y a través del Repositorio Digital de la UB (diposit.ub.edu) ha sido autorizada por los titulares de los derechos de propiedad intelectual únicamente para usos privados enmarcados en actividades de investigación y docencia. No se autoriza su reproducción con finalidades de lucro ni su difusión y puesta a disposición desde un sitio ajeno al servicio TDR o al Repositorio Digital de la UB. No se autoriza la presentación de su contenido en una ventana o marco ajeno a TDR o al Repositorio Digital de la UB (framing). Esta reserva de derechos afecta tanto al resumen de presentación de la tesis como a sus contenidos. En la utilización o cita de partes de la tesis es obligado indicar el nombre de la persona autora.

WARNING. On having consulted this thesis you're accepting the following use conditions: Spreading this thesis by the TDX (www.tdx.cat) service and by the UB Digital Repository (diposit.ub.edu) has been authorized by the titular of the intellectual property rights only for private uses placed in investigation and teaching activities. Reproduction with lucrative aims is not authorized nor its spreading and availability from a site foreign to the TDX service or to the UB Digital Repository. Introducing its content in a window or frame foreign to the TDX service or to the UB Digital Repository is not authorized (framing). Those rights affect to the presentation summary of the thesis as well as to its contents. In the using or citation of parts of the thesis it's obliged to indicate the name of the author.

MAPA GEOLÓGICO DE HONTOMÍN (excepto Cuaternario) Escala 1:5000



Cretácico		Terciario	
■ Turonense medio-Santonense inferior	■ Agriense superior-Orienteense	■ Zonas de intensa dolomitización	■ Alternancia de arcillas rojas, arenas de canal, calizas, margas lacustres y caliches, Facies Carpedo
■ Calizas nodulosas, calizas micromonstomas y calizas dolomíticas	■ Agriense superior-Orienteense medio	■ Turonense medio-Santonense inferior	■ Arcillas rojas con canales de arenas y conglomerados Facies Bureba
■ Cenomanense inferior-Coniacense inferior	■ Arcillas rojas con canales de arenas y conglomerados Facies Bureba	■ Turonense medio-Santonense inferior	■ Oligoceno-Mioceno inferior
■ Calizas nodulosas y margolizales	■ Turonense medio-Santonense inferior	■ Turonense medio-Santonense inferior	■ Conglomerados calcáreos y arcillas rojas marginales de la Facies Bureba
■ Albense superior-Cenomanense inferior	■ Turonense medio-Santonense inferior	■ Turonense medio-Santonense inferior	■ Calizas arenosas y calizas dolomíticas
■ Margas amarillentas y calizas biocásticas	■ Turonense medio-Santonense inferior	■ Turonense medio-Santonense inferior	■ Calizas arenosas y calizas dolomíticas

	Sinclinal		Traza de capa		Dirección y buzamiento
	Anticlinal		Fractura con desplazamiento observado		Capa horizontal
	Contacto concordante		Fractura sin desplazamiento observado		Dirección y buzamiento vertical
	Contacto discordante		Posible fractura		

	Sondeo		Ubicación aproximada de posibles sondeos previstos para el futuro
	Situación aproximada de las columnas estratigráficas		

SITETMA DE COORDENADAS UTM (HUSO 30)
DATUM WGS84
Equidistancia de las curvas de nivel, 10 metros